

УДК 541.49.546.562

МНОГОЯДЕРНЫЕ ГЕТЕРОМЕТАЛЛИЧЕСКИЕ  
(Y или Ln, Ba, Cu)-СОДЕРЖАЩИЕ АЦЕТИЛАЦЕТОНАТЫ  
КАК ИСХОДНЫЕ ВЕЩЕСТВА ДЛЯ ПОЛУЧЕНИЯ ВТСП ОКСИДОВ  
 $\text{LnBa}_2\text{Cu}_3\text{O}_{7-\delta}$

© 1993 г. И. В. Хорошун, Н. М. Самусь, М. В. Гандзий, В. И. Цапков,  
Е. В. Каряев, Г. А. Киоссе

Молдавский государственный университет  
Институт прикладной физики АН Молдовы  
Поступила в редакцию 10.08.92 г.

Синтезированы многоядерные гетерометаллические (Y или Ln, Ba, Cu)-содержащие ацетилацетоны, имеющие стехиометрию по катионам Cu : Ba : Ln = 3 : 2 : 1. Комплексы представляют собой индивидуальные соединения и образуют изоструктурный ряд при Ln = Y, La, Nd, Sm, Gd, Tb, Dy, Ho, Yb. Дифрактограммы порошков проиндексированы в рамках тетрагональной сингонии с параметрами субъячейки  $a_{\text{суб}} = 11.48$ ,  $c_{\text{суб}} = 9.37$  Å. На основании данных магнетохимии, ИК и ЭПР спектроскопии сделаны выводы о многоядерном строении комплексов, содержащих обменно-связанные ионы меди(II), ацетилацетонат-ионы, выполняющие роль бидентатных хелатирующих лигандов, и мостиковые аллоксогруппы. Все исследованные соединения характеризуются идентичным ходом термических превращений в интервале 20 - 500°C. Методом РДА исследован фазовый состав продуктов пиролиза комплексов на различных стадиях нагревания до 1000°C; показано, что конечными веществами являются практически однофазные тройные оксиды со структурой типа  $\text{YBa}_2\text{Cu}_3\text{O}_{7-\delta}$ .

Для ряда технологий изготовления изделий из ВТСП-материалов (массивные детали, толстопленочные покрытия, токонесущие провода и ленты) одной из актуальных проблем является разработка методов получения однофазных, химически гомогенных порошков ВТСП соединений.

Упрощение известной, обладающей рядом недостатков "керамической технологии" получения ВТСП порошков высокой степени гомогенности из смеси оксидов, карбонатов или простых солей соответствующих металлов [1, 2] достигается при использовании методов препаративной химии. Следует отметить совместное осаждение из растворов оксалатов [3], цитратов [4], карбоксилатов [5] соответствующих металлов, упаривание растворов нитратов [6], криохимический метод [7], проведение предварительного полимерного синтеза [8], введение в порошки пластификаторов [9], применение аллоксотехнологии [10], золь-гель-методов [11], использование смеси хелатных металлоорганических соединений [12].

Определенный интерес для совершенствования технологии синтеза порошков ВТСП представляет использование полидимерных гетерометаллических координационных соединений, содержащих в составе кристаллической решетки атомы соответствующих металлов в заданном стехиометрическом соотношении. Нами разработан метод синтеза группы многоядерных гетерометаллических (иттрий или лантаноид, барий, медь)-содержащих ацетилацетонатов общей

формулы  $\text{Cu}_3\text{Ba}_2\text{LnC}_{34}\text{H}_{63}\text{O}_{19}$ , где  $\text{Ln}^{3+} = \text{Y, La, Nd, Sm, Gd, Tb, Dy, Ho, Yb}$ .

**Методика синтеза.** Соединения получали при нагревании ( $t = 60^\circ\text{C}$ ) метанольного раствора, содержащего эквимольные количества нитратов меди(II), иттрия или соответствующего редкоземельного элемента, гидроксида бария и ацетилацетона, при  $\text{pH} \sim 8$ , создаваемого с помощью пи-перидина. Реакционную смесь нагревали и перемешивали до начала выделения из раствора однородного мелкокристаллического продукта сиреневого цвета, который отфильтровывали, промывали метанолом, эфиром, сушили в вакуум-эксикаторе над силикагелем.

В табл. 1 приведены выходы, результаты элементного и термогравиметрического анализов синтезированных соединений. Во всех комплексах реализуется атомное соотношение  $\text{Cu} : \text{Ba} : \text{Ln} = 3 : 2 : 1$ . Вещества практически не растворимы в спиртах, хлороформе, ацетоне, ацетонитриле, дихлорэтане; мало растворимы в диметилформамиде, диметилсульфоксиде; водой разрушаются. Рентгенодифракционный анализ (РДА) проводили на дифрактометре ДРОН-2.0 ( $\text{CuK}_\alpha$ -излучение, графитовый монохроматор).

Магнитную восприимчивость измеряли по методу Гуи в интервале 298 - 106 K (калибровка по  $\text{Co}[\text{Hg}(\text{NCS})_4]$ ). Диамагнитные поправки были учтены согласно [13]. Эффективные магнитные моменты определяли по формуле  $\mu_{\text{eff}} = (8\chi_m T)^{1/2}$ .

Таблица 1. Данные элементного химического и термогравиметрического анализов соединений

Соединение (брutto-формула)	Выход, %	Содержание (найдено/вычислено), %			Атомное отношение Cu : Ba : Ln	$t_{\text{экзо}}$ , °C			Убыль массы, %	
		Cu	Ba	Ln		начало	максимум	окончание	найдено	вычислено
$\text{Cu}_3\text{Ba}_2\text{YC}_{34}\text{H}_{63}\text{O}_{19}$	92	14.26 14.34	20.48 20.66	6.52 6.69	3.06:2.03:1.0	170	245	405	42.8	43.8
$\text{Cu}_3\text{Ba}_2\text{LaC}_{34}\text{H}_{63}\text{O}_{19}$	90	13.78 13.82	19.75 19.91	9.90 10.07	3.04:2.02:1.0	160	260	415	42.0	42.3
$\text{Cu}_3\text{Ba}_2\text{NdC}_{34}\text{H}_{63}\text{O}_{19}$	94	13.80 13.76	19.57 19.84	10.20 10.42	3.06:2.01:1.0	155	245	410	41.5	42.1
$\text{Cu}_3\text{Ba}_2\text{SmC}_{34}\text{H}_{63}\text{O}_{19}$	96	13.60 13.70	19.57 19.75	10.69 10.81	3.01:2.00:1.0	160	245	430	42.0	41.9
$\text{Cu}_3\text{Ba}_2\text{GdC}_{34}\text{H}_{63}\text{O}_{19}$	95	13.58 13.64	19.47 19.65	11.20 11.22	3.01:2.00:1.0	150	245	430	41.5	41.7
$\text{Cu}_3\text{Ba}_2\text{TbC}_{34}\text{H}_{63}\text{O}_{19}$	93	13.60 13.62	19.47 19.63	11.22 11.37	3.04:2.01:1.0	150	240	410	42.0	41.6
$\text{Cu}_3\text{Ba}_2\text{DyC}_{34}\text{H}_{63}\text{O}_{19}$	87	13.56 13.59	19.41 19.58	11.40 11.58	3.04:2.01:1.0	155	240	430	42.0	41.5
$\text{Cu}_3\text{Ba}_2\text{HoC}_{34}\text{H}_{63}\text{O}_{19}$	90	13.41 13.56	19.28 19.54	11.55 11.73	3.01:2.01:1.0	150	235	435	41.0	41.5
$\text{Cu}_3\text{Ba}_2\text{YbC}_{34}\text{H}_{63}\text{O}_{19}$	88	13.46 13.48	19.36 19.43	12.10 12.24	3.03:2.02:1.0	150	230	420	41.0	41.2

ИК спектры получали на спектрометре Perkin-Elmer-577 в интервале 4000 - 250 см<sup>-1</sup>. Образцы готовили с использованием методики растирания исследуемого порошка в вазелиновом масле. Дериватограммы снимали на дериватографе ЭД-102 в атмосфере воздуха в интервале температур 20 - 500°C при скорости изменения температуры 2.5 град/мин и в интервале 20 - 1000°C при скорости 5 град/мин.

## РЕЗУЛЬТАТЫ И ИХ ОБСУЖДЕНИЕ

Визуальное микроскопическое исследование показало, что порошки синтезированных соединений отличаются фазовой однородностью и состоят из кристаллитов в форме тонких призм размерами не более  $0.01 \times 0.01 \times 0.03$  мм. Малые размеры кристаллитов комплексов, а также не уверавшаяся пока успехом попытка вырастить монокристаллы данных соединений не позволили провести их полный рентгеноструктурный анализ. Для установления индивидуальности состава и исследования особенностей строения многоядерных ацетилацетонатов были использованы в совокупности методы РДА, ИК, ЭПР спектропсии, магнетохимии и термогравиметрии.

Рентгенограммы комплексов с относительным содержанием атомов Cu : Ba : Ln = 3 : 2 : 1 идентичны, изменение природы катиона  $\text{Ln}^{3+}$  вызывает лишь небольшие различия в интенсивности

Таблица 2. Индицирование дифрактограммы комплекса  $Cu_3Ba_2YbC_{34}H_{63}O_{19}$

$hkl$	$I_{\text{изм}} \%$	$d_{\text{изм}} \text{\AA}$	$d_{\text{выч}} \text{\AA}$	$hkl$	$I_{\text{изм}} \%$	$d_{\text{изм}} \text{\AA}$	$d_{\text{выч}} \text{\AA}$
100	1	11.334	11.470	501	8	2.230	2.228
110	91	7.795	8.111	440	21	2.025	2.028
101	74	7.551	7.256	530	4	1.966	1.967
200	21	5.677	5.736	522	3	1.937	1.939
210	20	5.158	5.130	600	6	1.914	1.912
002	100	4.695	4.682	610	5	1.886	1.886
211	3	4.506	4.500	442	26	1.861	1.861
102	2	4.332	4.334	620	23	1.813	1.814
220	38	4.055	4.055	540	5	1.791	1.791
310	23	3.616	3.627	622	3	1.694	1.691
212	6	3.460	3.459	006	16	1.560	1.561
311	22	3.355	3.383	642	3	1.505	1.506
320	4	3.198	3.181	604	4	1.481	1.481
003	4	3.116	3.121	800	14	1.432	1.434
113	8	2.952	2.961	802	21	1.370	1.371
400	40	2.867	2.868	660	12	1.352	1.352
312	5	2.778	2.782	Непрояндицированы:			
331	6	2.512	2.597				
421	9	2.477	2.474		22	3.314	
402	92	2.445	2.445		15	3.263	
332	56	2.340	2.341		17	1.654	

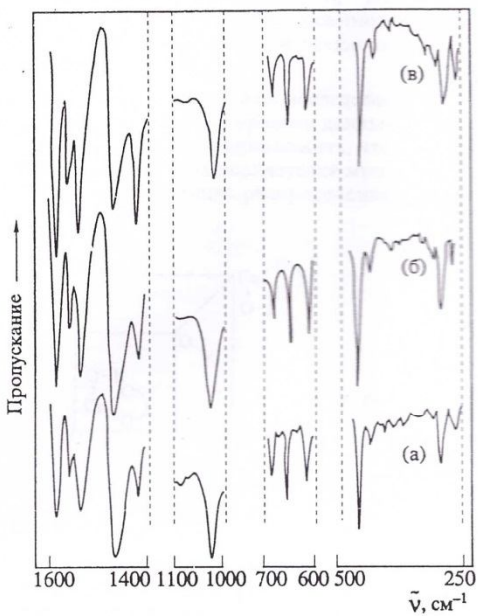


Рис. 1. ИК спектры  $Cu_3Ba_2LnC_{34}H_{63}O_{19}$  при  $Ln = Sm$  (a),  $Dy$  (b),  $Ho$  (c).

тях рефлексов, что свидетельствует об изоструктурности исследуемых соединений в ряду  $Ln = Y, La, Nd, Sm, Gd, Tb, Dy, Ho, Yb$ . На дифрактограммах выделяется ряд отражений с высокой интенсивностью, имеются также рефлексы с интенсивностями, незначительно превышающими фон. Группа интенсивных рефлексов была проиндцирована в рамках тетрагональной сингонии с параметрами субъячейки  $a_{\text{суб}} = 11.48$ ,  $c_{\text{суб}} = 9.37 \text{ \AA}$  (табл. 2), причем значения этих параметров практически не зависят от природы лантаноида. Вычисленные значения плотности синтезированных комплексов находятся в интервале от 1.79 ( $Ln = Y$ ) до 1.90 г/см<sup>3</sup> ( $Ln = Yb$ ). Измеренная для  $Cu_3Ba_2Yb \cdot C_{34}H_{63}O_{19}$  пикнометрическим методом (в  $CCl_4$ ) плотность оказалась равной 1.94 г/см<sup>3</sup>. Удовлетворительная сходимость полученных результатов служит подтверждением правильности выбранной симметрии и размеров субъячейки исследуемых соединений.

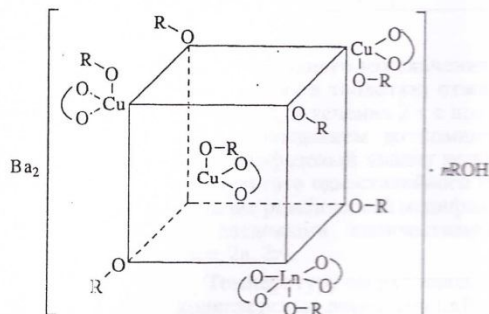
Вывод об изоструктурности гетероядерных ( $Cu, Ba, Ln$ )-ацетилацетонатов согласуется и с данными их ИК спектров, имеющих сходный вид (рис. 1). Наличие полос поглощения в областях 1580, 1560 - 1430 и 460 - 300 см<sup>-1</sup>, характеризующих валентные колебания  $\nu(C=C)$ ,  $\nu(C=O)$  и  $\nu(M-O)$  соответственно, свидетельствует, согласно [14], о том, что в исследуемых гетероядерных комплексах ацетилацетон выступает как бидент-

татный хелатирующий лиганд и образует с чонами металлов шестичленные металлоциклы. В спектрах всех соединений присутствует интенсивная полоса поглощения в области 1030 - 1025 см<sup>-1</sup>, относящаяся к валентным колебаниям  $\nu(C-O)$  аллоксогруппы. Согласно [15 - 17], такое положение полосы указывает на то, что аллоксогруппа в изученных ацетилацетонатах является мостиковой и связывает атомы металлов в многоядерное координационное соединение, наподобие известных гетероядерных комплексов, тетрамерное строение которых подтверждено рентгеноструктурным анализом [18, 19]. Не исключена также возможность участия координированных ацетилацетон-ионов в образовании не только хелатных, но и мостиковых связей [20]. Об этом свидетельствует присутствие в ИК спектрах интенсивной полосы 1580 см<sup>-1</sup>. Обращает на себя внимание также тот факт, что полосы в области 700-600 см<sup>-1</sup>, обусловленные валентными колебаниями  $Ln-O$ , практически не претерпевают изменений и зависят от природы  $Ln$ , например: 685, 650, 610 см<sup>-1</sup> ( $Sm$ ), 680, 650, 630 см<sup>-1</sup> ( $Dy$ ), 690, 655, 620 см<sup>-1</sup> ( $Ho$ ). Полученные результаты находятся в соответствии с данными для безводных ацетилацетонатов  $Ln$ , приведенными в [21], и свидетельствуют об отсутствии чувствительности полос валентных колебаний  $Ln-O$  к изменению природы металла.

Проведенное магнетохимическое исследование синтезированных комплексов при комнатной температуре показало (табл. 3), что указанные соединения являются парамагнитными. Экспериментальные значения эффективных магнитных моментов ( $\mu_{\text{eff}}$ ) в расчете на молекулу для ( $Cu, Ba, Y$ )- и ( $Cu, Ba, La$ )-содержащих соединений несколько завышены по отношению к теоретической величине 3.00 М.Б. для чистоспинового значения системы, содержащей три изолированных парамагнитных иона  $Cu^{2+}$  ( $S = 1/2$ ) и диамагнитный ион  $Ln^{3+}$  ( $Ln = Y, La$ ). Несколько завышенные значения магнитных моментов при комнатной температуре, как известно [22, 23], наблюдаются в трехъядерных хелатных комплексах меди(II), в которых центральный ион имеет сильно искаженное, отличающееся от плоскостного строение. Изучение температурной зависимости магнитной восприимчивости свидетельствует о наличии обменного взаимодействия между ионами  $Cu^{2+}$  в комплексе. Эксперимент показал, что магнитная восприимчивость ( $\chi_M^{\text{акsp}} \times 10^6$ )  $Cu_3Ba_2LaC_{34}H_{63}O_{19}$  при понижении температуры монотонно возрастает от 5196.8 ( $T = 298$  К) до 8556.8 см<sup>3</sup>/моль ( $T = 106$  К), при этом  $\mu_{\text{eff}}$  уменьшается от 3.21 до 2.60 М.Б. ЭПР спектроскопическое исследование установило, что для всех изученных комплексов (табл. 3) спектры имеют подобный вид, состоят из одиночного синглета с  $g_{\text{eff}} \approx 2.1$  в области 297 - 312 мГц,

ширина которого практически не зависит от температуры. Из литературы известно [24], что спектр такого вида характерен для низкссимметричных ионов меди(II), находящихся в обменно-связанном состоянии.

Все вышеупомянутые результаты исследования и сопоставление их с литературными данными [19, 25, 26] дают основание предположить, что в синтезированных комплексах реализуется многоядерное строение и следующее распределение химических связей:



**Продукты пиролиза многоядерных гетерометаллических комплексов.** Термогравиметрический анализ выявил для всех изученных соединений одинаковый ход термических превращений (табл. 1). На дифрактограммах комплексов в интервале температур 150 - 430°C наблюдается экзотермический эффект с убылью массы ~ 41 - 43%, что соответствует горению органической части молекулы комплекса. Фазовый состав продуктов пиролиза (400°C) всех гетероядерных (Cu, Ba, Ln)-содержащих ацетилацетонатов по данным РДА соответствует смеси CuO, Ln<sub>2</sub>O<sub>3</sub> и BaCO<sub>3</sub> (рис. 2a, 2б). Элементный химический анализ смесей свидетельствует о сохранении стехиометрии Cu : Ba : Ln ≈ 3 : 2 : 1.

Найдено, %: Cu 23.44; Ba 33.67; Gd 19.21; атомное отношение Cu : Ba : Gd = 3.01 : 2.00 : 1.00.

Для смеси 3CuO + 2BaCO<sub>3</sub> + 1/2Gd<sub>2</sub>O<sub>3</sub> вычислено, %: Cu 23.41; Ba 33.74; Gd 19.27.

Найдено, %: Cu 23.27; Ba 33.40; Dy 19.72; атомное отношение Cu : Ba : Dy = 3.02 : 2.01 : 1.00.

Для смеси 3CuO + 2BaCO<sub>3</sub> + 1/2Dy<sub>2</sub>O<sub>3</sub> вычислено, %: Cu 23.25; Ba 33.51; Dy 19.82.

На дифрактограммах продуктов низкотемпературного пиролиза дифракционные линии присущих фаз заметно размыты и, кроме того, имеются широкие области выраженного диффузного рассеяния. Данные особенности дифрактограмм объяснимы в предположении, что кристаллиты оксидов меди, лантаноида, а также карбоната бария имеют весьма малые ( $\leq 0.1$  мкм) размеры (вследствие этого малы области когерентного рассеяния) и что значительная доля веществ находится в рентгеноаморфном состоянии.

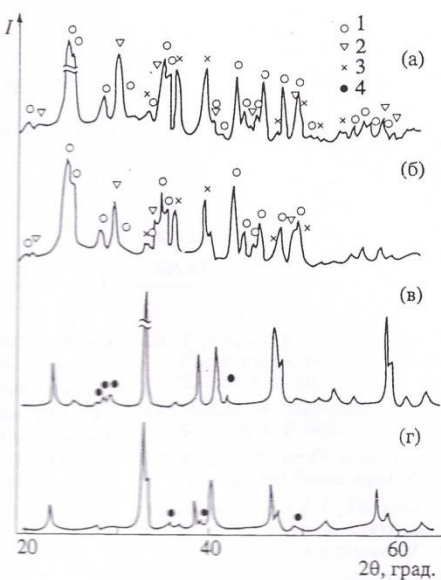


Рис. 2. Дифрактограммы продуктов низкотемпературного (~400°C) пиролиза комплексов  $Cu_3Ba_2Y_34H_{63}O_{19}$  (а) и  $Cu_3Ba_2DyC_{34}H_{63}O_{19}$  (б) и полученных из них порошков  $DyBa_2Cu_3O_{7-\delta}$  (в),  $LaBa_2Cu_3O_{7-\delta}$  (г). Обозначения фаз: 1 –  $BaCO_3$ , 2 –  $Y_2O_3$  (а) и  $Dy_2O_3$  (б), 3 –  $CuO$ , 4 – примесные фазы  $BaCuO_2$  и  $CuO$  (а, б).

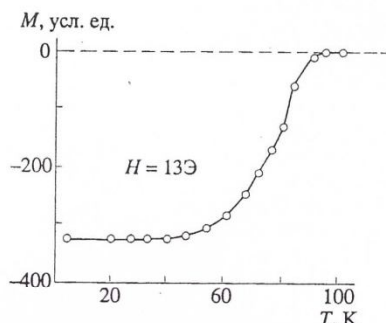


Рис. 3. Температурная зависимость намагниченности порошка  $DyBa_2Cu_3O_{7-\delta}$ , полученного термообработкой  $Cu_3Ba_2DyC_{34}H_{63}O_{19}$ .

Т.е. уже в процессе низкотемпературного пиролиза многоядерных гетерометаллических комплексов образуются, по-видимому, порошки соответствующих соединений высокой степени дисперсности.

Для получения ВТСП фазы 1-2-3 ромбической модификации вышеупомянутые порошкообразные продукты низкотемпературного (400°C) пиролиза комплексов (в нативном состоянии, без

Таблица 3. Результаты магнитных и ЭПР спектроскопических измерений

Соединение	$\mu_{\text{eff}}$ (на молекулу) при 298 К, М.Б.	$H_0$ , мТл	$g_{\text{eff}}$	$H_0$ , мТл	$g$
		293 К		120 К	
$\text{Cu}_3\text{Ba}_2\text{YC}_{34}\text{H}_{63}\text{O}_{19}$	3.10	306.14	2.105	306.73	2.1
$\text{Cu}_3\text{Ba}_2\text{LaC}_{34}\text{H}_{63}\text{O}_{19}$	3.21	306.11	2.106	306.71	2.1
$\text{Cu}_3\text{Ba}_2\text{SmC}_{34}\text{H}_{63}\text{O}_{19}$	3.28	306.18	2.105	306.80	2.1
$\text{Cu}_3\text{Ba}_2\text{GdC}_{34}\text{H}_{63}\text{O}_{19}$	8.43	306.16	2.105	306.82	2.1
$\text{Cu}_3\text{Ba}_2\text{HoC}_{34}\text{H}_{63}\text{O}_{19}$	9.92	306.63	2.102	306.61	2.1

дополнительного измельчения, перемешивания и прессования в таблетки) отжигали при температуре 920°C в течение 2 ч с последующим медленным охлаждением до комнатной температуры. Рентгенофазовый анализ порошков, полученных в результате одностадийного процесса, установил наличие ромбической модификации  $\text{LnBa}_2\text{Cu}_3\text{O}_{7-\delta}$  со следовыми количествами  $\text{BaCuO}_2$  и  $\text{CuO}$  (рис. 2в, 2г).

Температуру сверхпроводящего перехода мелкодисперсных порошков  $\text{LnBa}_2\text{Cu}_3\text{O}_{7-\delta}$  определяли с помощью СКВИД-магнитометра. В качестве примера на рис. 3 показана температурная зависимость намагниченности в магнитном поле  $H = \pm 1.3$  мТл для порошка  $\text{DyBa}_2\text{Cu}_3\text{O}_{7-\delta}$  с началом сверхпроводящего перехода при  $T_c = 94$  К.

## СПИСОК ЛИТЕРАТУРЫ

- Можаев А.П., Першин В.И., Шабатин В.Т. и др. // Ж. Всесоюз. хим. о-ва им. Д.И. Менделеева. 1989. Т. 34. № 4. С. 504.
- Баринов С.М., Шевченко В.Я. // Ж. Всесоюз. хим. о-ва им. Д.И. Менделеева. 1990. Т. 35. № 6. С. 708.
- Абдеев В.В., Жариков О.В., Налимова В.А. и др. // Ж. эксперим. и теорет. физики. 1987. Т. 92. № 4. С. 1423.
- Chu C.T., Dunn B.J. // J. Amer. Ceram. Soc. 1987. V. 70. N. 12. P. 375.
- Кауль А.Р. // Ж. Всесоюз. хим. о-ва им. Д.И. Менделеева. 1989. Т. 34. № 4. С. 492.
- Kadas T.T. // Appl. Phys. Lett. 1988. V. 52. P. 1622.
- Jonson S.M. // Adv. Ceram. Mater. 1987. V. 2. N. 38. P. 337.
- Савостьянов В.С., Жорин В.А., Джардималиев Г.И. // Докл. АН СССР. 1991. Т. 318. № 2. С. 378.
- Остроушко А.А., Журавлева Л.И., Портнова С.М., Красилов Ю.И. // Ж. неорган. химии. 1991. Т. 36. № 1. С. 3.
- Turevskaya E.P., Kozlova N.I., Turova N.Y. Сверхпроводимость: физика, химия, техник Т. 2. № 9. С. 30.
- Nagano M., Greenblatt M. // Solid State Comm. V. 67. N. 6. P. 595.
- Beltran-Porter D. et al. // Eur. Workshop on F percond. and Poten. Appl. Italy, 1987. P. 317.
- Калинников В.Т., Ракитин Ю.В. Введение в тохимию. Метод статистической магнитной примечивости в химии. М.: Наука, 1980. С.
- Nakamoto K. Инфракрасные спектры неорганических и координационных соединений. М.: 1966. С. 411.
- Andrew J.E., Blake A.B. // Dalton Trans. 1973 P. 1102.
- Andrew J.E., Blake A.B., Fraser L.R. // Dalton Trans. 1976. N. 6. P. 477.
- Аблов А.В., Симонов Ю.А., Матузенко Г.С. Докл. АН СССР. 1977. Т. 235. № 6. С. 1335.
- Яблоков Ю.В., Симонов Ю.А., Ямпольская и др. // Ж. неорган. химии. 1980. Т. 25. № 9.
- Sauer N.N., Garcia E., Salasar K.V. et al. // J. Chem. Soc. 1990. V. 112. N. 4. P. 1524.
- Przystal I.R., Bos W.J., Liss I.B. // J. Inorg. Nucl. 1971. V. 33. N. 3. P. 679.
- Мартыненко Л.И. // Строение, свойства и ненеение  $\beta$ -дикетонатов металлов / Под ред. на Б.Й. М.: Наука, 1978. С. 35.
- Harris C.M., Sinn E. // J. Inorg. Nucl. Chen. V. 30. N. 10. P. 2723.
- Gruber S.J., Harris C.M., Sinn E. // J. Inorg. Chem. 1968. V. 30. N. 7. P. 1805.
- Куявская Б.Я., Гэрбэлзу Н.В., Вексельман Ж. неорган. химии. 1982. Т. 27. № 4. С. 968.
- Benelli C., Caneschi H., Gatteschi D. et al. // Chem. 1990. V. 29. N. 4. P. 1750.
- Ямпольская М.А., Матузенко Г.С., Гэрбэл и др. // Ж. неорган. химии. 1989. Т. 34. № 5. 1